

XX научная школа НЕЛИНЕЙНЫЕ ВОЛНЫ- 2022

**НЕЛИНЕЙНЫЕ АКУСТИЧЕСКИЕ ВОЛНЫ В МАТЕРИАЛАХ
С ДИСЛОКАЦИЯМИ И ТОЧЕЧНЫМИ ДЕФЕКТАМИ**

Ерофеев Владимир Иванович

*Институт проблем машиностроения РАН – филиал
ФГБНУ «Федеральный исследовательский центр
Институт прикладной физики Российской академии наук»,
Нижний Новгород, Россия*

МАТЕРИАЛ С ДИСЛОКАЦИЯМИ

Уравнения для ультразвуковой волны и дислокационного смещения ξ_i можно записать в следующем виде:

$$\rho \frac{\partial^2 U_i}{\partial t^2} = \frac{\partial \sigma_{ik}}{\partial x_k} \quad A \frac{\partial^2 \xi_i}{\partial t^2} + B \frac{\partial \xi_i}{\partial t} = f_i$$

где ρ – плотность кристалла, а тензор напряжений σ_{ik} и сила f_i , действующая на дислокацию, определяется соотношениями:

$$\sigma_{ik} = \frac{\partial F}{\partial \varepsilon_{ik}}, \quad f_i = \frac{\partial F}{\partial \xi_i}.$$

Здесь F – свободная энергия единицы объема кристалла, ε_{ik} – тензор деформаций, A и B – постоянные коэффициенты, характеризующие массу и затухание дислокации.

Свободную энергию F можно представить в виде разложения в ряд по степеням ε_{ik} и ξ_i

$$F = \frac{1}{2} c_{ijkl} \varepsilon_{ij} \varepsilon_{kl} + \frac{1}{2} \lambda_{ik} \xi_i \xi_k + \frac{1}{2} \beta_{ijkl} (b_i \xi_j + b_j \xi_i) \varepsilon_{kl} + \frac{1}{3!} Q_{iklmprq} \varepsilon_{ik} \varepsilon_{im} \varepsilon_{pq} + \frac{1}{3!} \gamma_{ikl} \xi_i \xi_k \xi_l + \frac{1}{3!} q_{ijklprq} (b_i \xi_j +$$

где c_{iklm} , $Q_{iklmprq}$ – тензоры линейной и нелинейной упругости, b_i – компоненты вектора Бюргерса, β_{ijkl} , $q_{ijklprq}$ – тензоры линейного и нелинейного акустодислокационного взаимодействия, λ_{ik} и γ_{ikl} – тензоры линейной и нелинейной «жесткости» дислокаций.

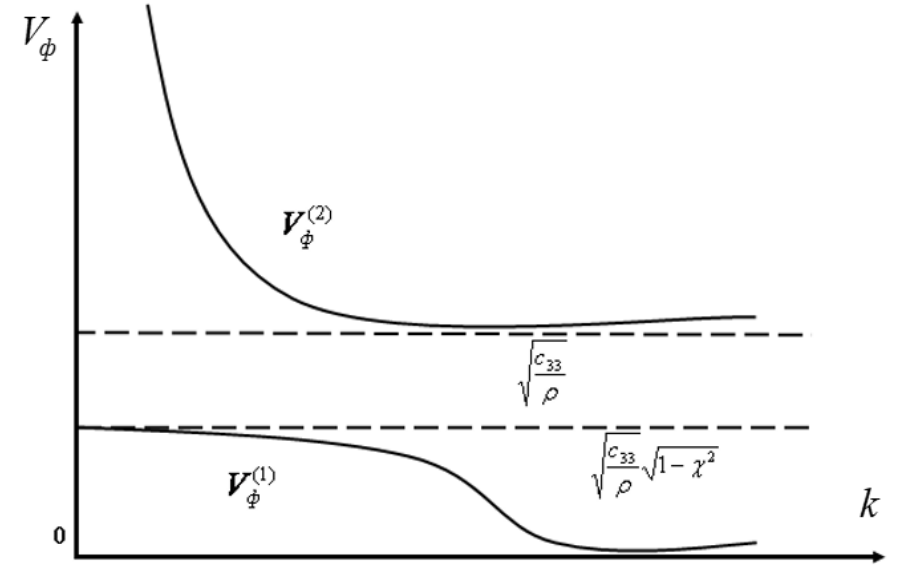
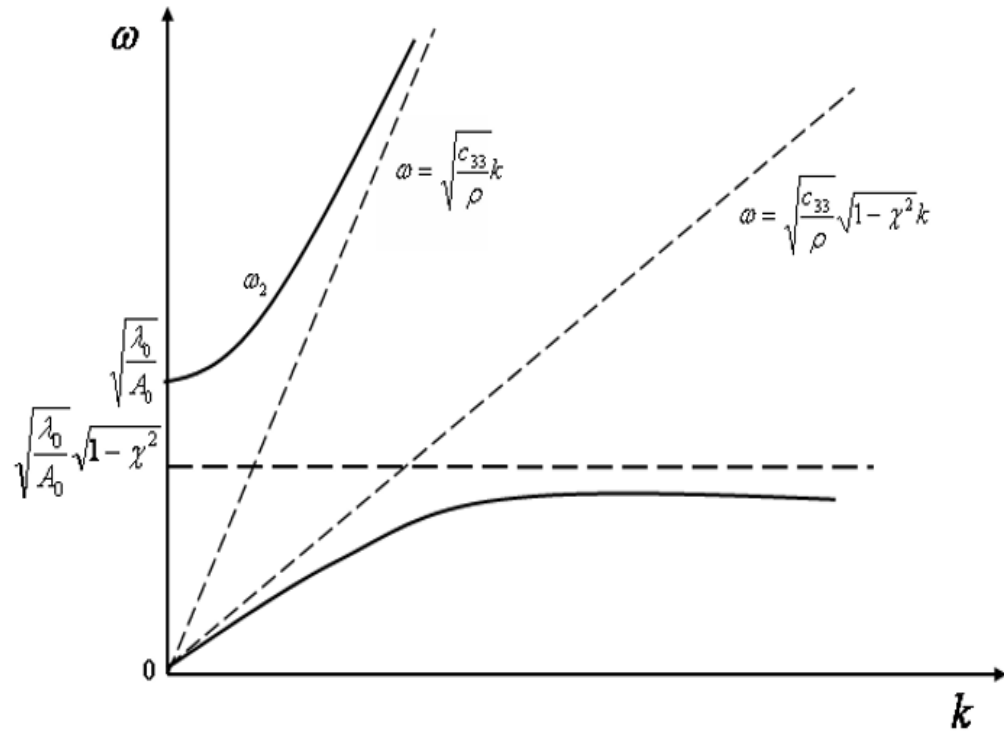
Учет нелинейности дислокационной подсистемы

$$\rho \frac{\partial^2 U}{\partial t^2} = c_{33} \frac{\partial^2 U}{\partial x^2} + \beta b \frac{\partial \xi}{\partial x}, \quad A \frac{\partial^2 \xi}{\partial t^2} + B \frac{\partial \xi}{\partial t} + \lambda \xi + \beta b \frac{\partial U}{\partial x} = \frac{1}{2} \gamma \xi^2.$$

Здесь $U(x, t) = U_3, x = x_3$

Массу и «жесткость» дислокаций будем рассматривать как сумму постоянной и пульсационной составляющих. При этом пульсационные составляющие будем считать пропорциональными квадрату дислокационного смещения ξ :

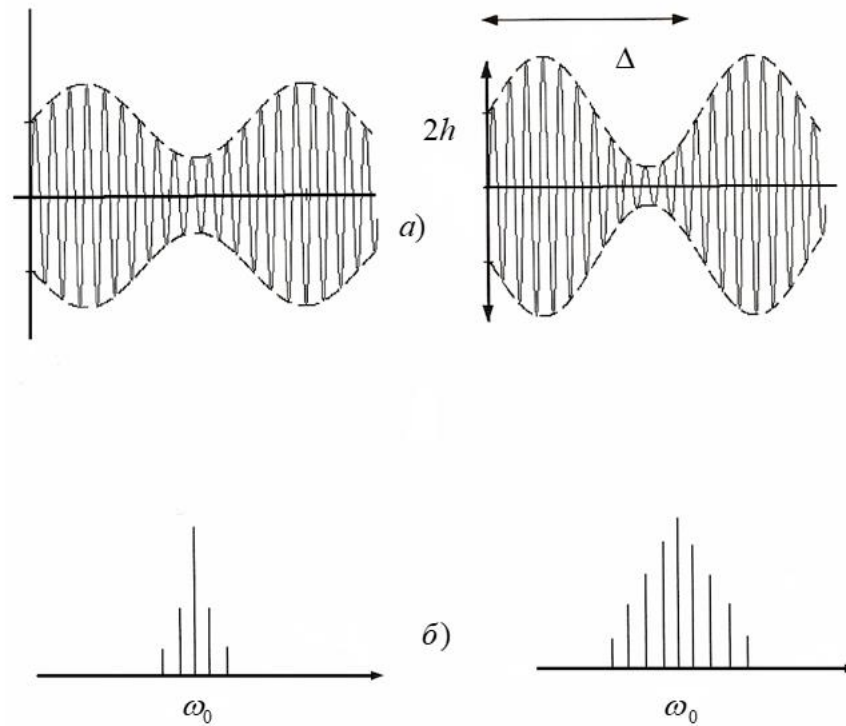
$$A = A_0(1 + A_1 \xi^2), \quad \lambda = \lambda_0(1 + \lambda_1 \xi^2).$$



В системе координат $\eta = x - V_{\text{гр}}t$; $\tau = \varepsilon t$, движущейся с групповой скоростью ($V_{\text{гр}} = \frac{d\omega}{dk}$), эволюция огибающей будет описываться нелинейным уравнением Шредингера:

$$i \frac{\partial U_0}{\partial \tau} - \frac{1}{2} \frac{dV_{\text{гр}}}{dk} \frac{\partial^2 U_0}{\partial \eta^2} = \alpha |U_0| U_0$$

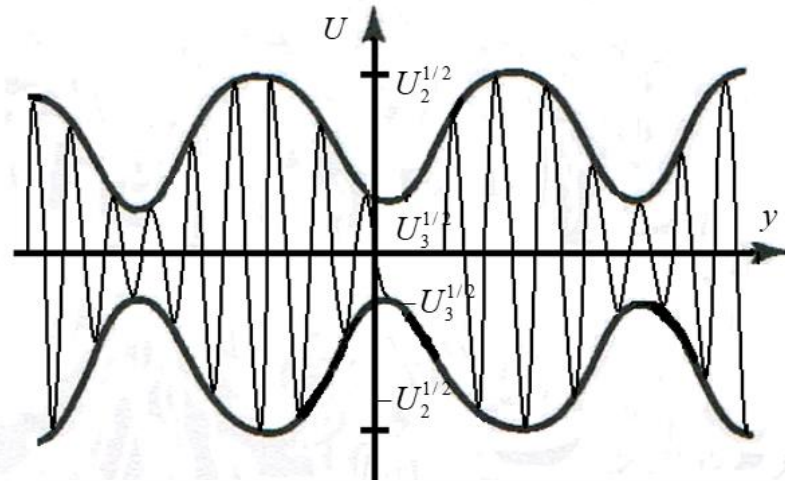
Наличие в системе такой неустойчивости определяется по критерию Лайтхилла: $\frac{dV_{\text{гр}}}{dk} \cdot \alpha < 0$.



Модуляционная неустойчивость квазигармонической волны
 и эволюция спектра

При $\lambda_1 > 0$, $A_1 > 0$ волны устойчивы, при $\lambda_1 < 0$, $A_1 < 0$ – неустойчивы. Если $\lambda_1 < 0$, $A_1 > 0$, то волны, частоты и волновые числа которых лежат на нижней дисперсионной ветви (ω_1) будут неустойчивыми, а волны, частоты и волновые числа которых лежат на верхней дисперсионной ветви (ω_2), будут устойчивыми. Если же, $\lambda_1 > 0$, $A_1 < 0$, то наоборот, устойчивые волны, соответствующие нижней дисперсионной ветви (ω_1) и неустойчивые волны, соответствующие верхней дисперсионной ветви (ω_2).

Стационарные волны огибающих



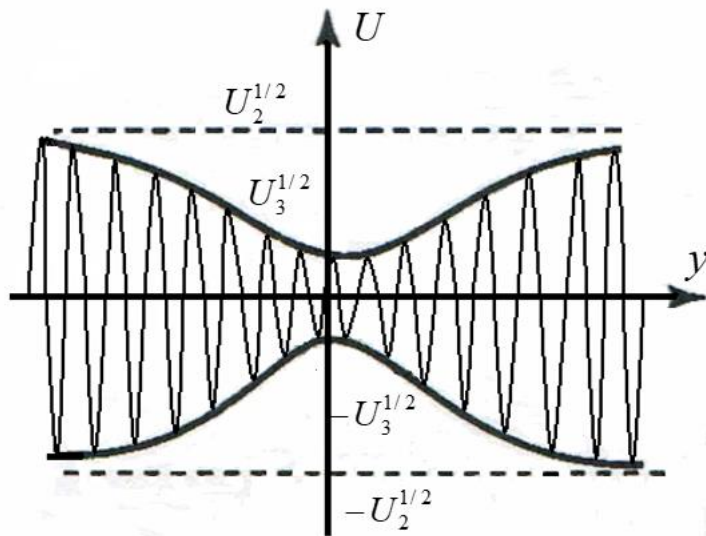
В длинноволновом диапазоне:

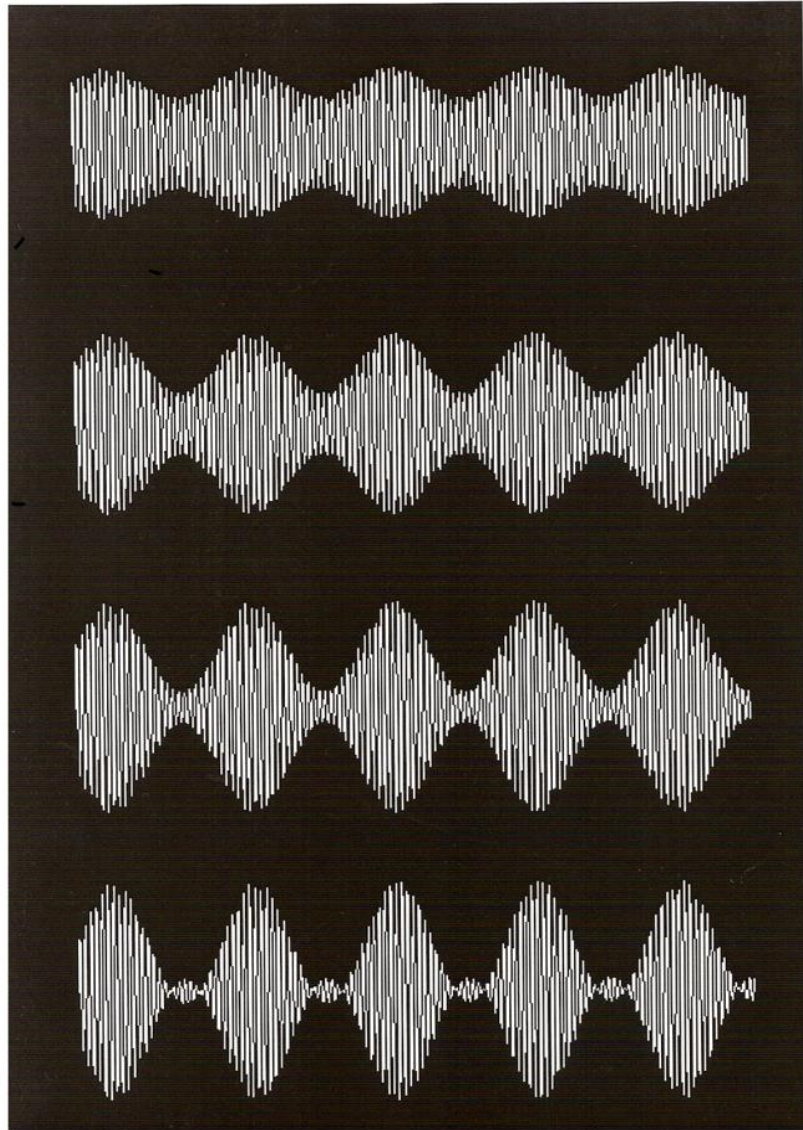
$$h \approx \frac{2}{\sqrt{3}} \frac{V\rho\lambda_0 \sqrt{\frac{\lambda_0}{A_0} - \frac{c_{33}}{\rho}}}{\beta^2 b^2 K} \quad \Delta \approx \frac{\sqrt{2}\beta^2 b^2 \sqrt{A_0}}{V\rho\lambda_0 \sqrt{\lambda_0}}$$

Высота волнового пакета, увеличивающаяся с ростом жесткости дислокаций ($\sim \lambda_0^{3/2}$), уменьшается

пропорционально $1/\sqrt{A_0}$ и пропорционально $1/\beta^2$.

Ширина волнового пакета уменьшается пропорционально $\lambda_0^{-3/2}$ и увеличивается пропорционально $\sqrt{A_0}$ и пропорционально β^2 .





В коротковолновом диапазоне:

$$h \approx \frac{V}{\sqrt{3}} \sqrt{\frac{\sqrt{\rho} \sqrt{A_0} k}{\beta b}} \quad \Delta \approx \frac{2\sqrt{2}}{VK} \sqrt{\frac{c_{33}}{\rho}}$$

Высота волнового пакета увеличивается с ростом средней массы дислокации $\sim A_0^{1/4}$ и уменьшается $\sim 1/\sqrt{\beta}$. Ширина волнового пакета в этом диапазоне от параметров дислокационной структуры не зависит и определяется отношением скорости распространения линейных возмущений к скорости нелинейной стационарной волны ($c_{33}/\rho V$).

МАТЕРИАЛ С ТОЧЕЧНЫМИ ДЕФЕКТАМИ

$$\frac{\partial^2 U}{\partial t^2} - c_1^2 \frac{\partial^2 U}{\partial x^2} - \frac{\beta_N}{\rho} \frac{\partial U}{\partial x} \frac{\partial^2 U}{\partial x^2} = - \left(\lambda + \frac{2}{3} \mu \right) \frac{\Omega_V}{\rho} \frac{\partial n_V}{\partial x} - \left(\lambda + \frac{2}{3} \mu \right) \frac{\Omega_i}{\rho} \frac{\partial n_i}{\partial x}$$

$$\frac{\partial n_V}{\partial t} = q_0 + q_\varepsilon \frac{\partial U}{\partial x} + D_V \frac{\partial^2 n_V}{\partial x^2} - \beta_V n_V - \beta_{iV} n_i$$

$$\frac{\partial n_i}{\partial t} = q_0 + q_\varepsilon \frac{\partial U}{\partial x} + D_i \frac{\partial^2 n_i}{\partial x^2} - \beta_i n_i - \beta_{iV} n_V$$

ОПИСАНИЕ ПРОЦЕССОВ ПРИ ОТСУТСТВИИ ОБЪЕМНОЙ ВЗАИМНОЙ РЕКОМБИНАЦИИ РАЗНОИМЕННЫХ ДЕФЕКТОВ

$$\frac{\partial^2 u}{\partial t^2} - \left(c_\ell^2 - \frac{q \left(\lambda + \frac{2}{3} \mu \right) \Omega_j}{\rho \cdot \beta_j} \right) \frac{\partial^2 u}{\partial x^2} - \frac{D_j}{\beta_j} \left(\frac{\partial^4 u}{\partial x^2 \partial t^2} - c_\ell^2 \frac{\partial^4 u}{\partial x^4} \right) + \frac{1}{\beta_j} \left(\frac{\partial^3 u}{\partial t^3} - c_\ell^2 \frac{\partial^3 u}{\partial x^2 \partial t} \right) =$$

$$= \frac{\beta_N}{2\rho} \left[\frac{\partial}{\partial x} \left(\frac{\partial u}{\partial x} \right)^2 - \frac{D_j}{\beta_j} \frac{\partial^3}{\partial x^3} \left(\frac{\partial u}{\partial x} \right)^2 + \frac{1}{\beta_j} \frac{\partial^2}{\partial x \partial t} \left(\frac{\partial u}{\partial x} \right)^2 \right]$$

$$\frac{\partial W}{\partial \eta} + \frac{(a-1)}{2a} \frac{\partial^3 W}{\partial \xi^3} + \frac{b(a-1)}{2\sqrt{a}} \frac{\partial^2 W}{\partial \xi^2} + qW \frac{\partial W}{\partial \xi} = 0$$

$$W = A_0 \exp\left(\frac{\tilde{\xi}}{\xi}\right) \operatorname{sech}^2\left(\frac{\tilde{\xi}}{2}\right) \quad \tilde{\xi} = \frac{2}{\Delta} (\xi - V\eta)$$

УЧЕТ ОБЪЕМНОЙ ВЗАИМНОЙ РЕКОМБИНАЦИИ РАЗНОИМЕННЫХ ДЕФЕКТОВ

$$\begin{aligned} & \frac{\partial^2 n_V}{\partial t^2} - (\beta_V D_i + \beta_i D_V) \frac{\partial^2 n_V}{\partial x^2} + (\beta_i + \beta_V) \frac{\partial n_V}{\partial t} - (D_i + D_V) \frac{\partial^3 n_V}{\partial x^2 \partial t} + D_i D_V \frac{\partial^4 n_V}{\partial x^4} + \\ & + \frac{1}{2} \frac{q_s \beta_N D_i}{\rho^3 c_i^6} \left(\lambda + \frac{2}{3} \mu \right)^2 \left(\frac{\Omega_i \beta_V}{\beta_{iV}} - \Omega_V \right)^2 \frac{\partial^2}{\partial x^2} (n_V^2) + (\beta_i \beta_V - \beta_{iV} \beta_{Vi}) n_V - \\ & - \frac{1}{2} \frac{q_s \beta_N}{\rho^3 c_i^6} \left(\lambda + \frac{2}{3} \mu \right)^2 (\beta_i - \beta_{iV}) \left(\frac{\Omega_i \beta_V}{\beta_{iV}} - \Omega_V \right)^2 n_V^2 = (\beta_i - \beta_{iV}) \left(q_0 - \frac{2q_s \rho c_i^2}{\beta_N} \right) \end{aligned}$$

$$\frac{\partial^2 n_0}{\partial \xi \partial \eta} + \gamma_1 \left(\left(\frac{\partial n_0}{\partial \xi} \right)^2 + n_0 \frac{\partial^2 n_0}{\partial \xi^2} \right) + \frac{\partial^3 n_0}{\partial \xi^3} + \gamma_2 \frac{\partial^4 n_0}{\partial \xi^4} + \gamma_3 \frac{\partial n_0}{\partial \xi} = \gamma_4 n_0 + \gamma_5 n_0^2$$

$$n_0(\xi, \eta) = y(z) \quad z = \xi - v\eta$$

$$y(z) = \frac{1}{4} \frac{\gamma_4}{\gamma_5} \left[\left(\operatorname{th} \left(\frac{z}{10|\gamma_2|} \right) - \operatorname{sign}(\gamma_2) \right)^2 - 4 \right]$$

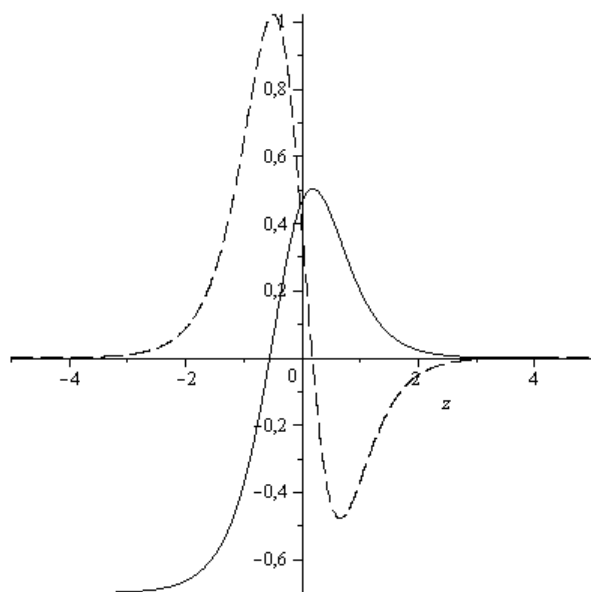


Рис. 1 Зависимости (сплошная), (пунктир).

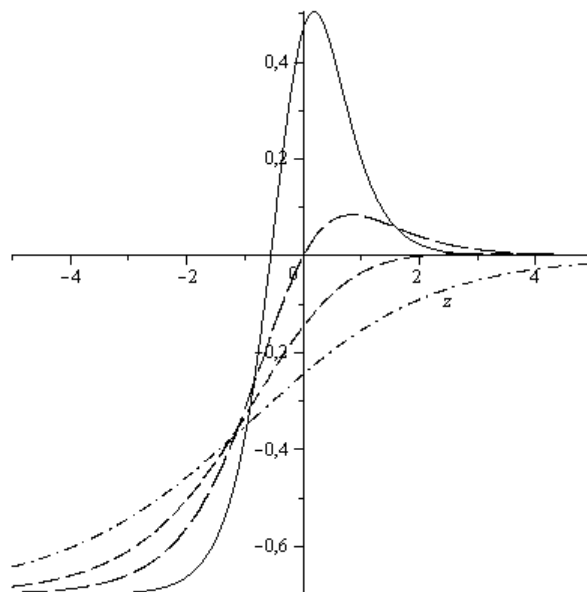


Рис. 2. Зависимости (, – штрихпунктир, – короткий пунктир, – длинный пунктир, – сплошная).

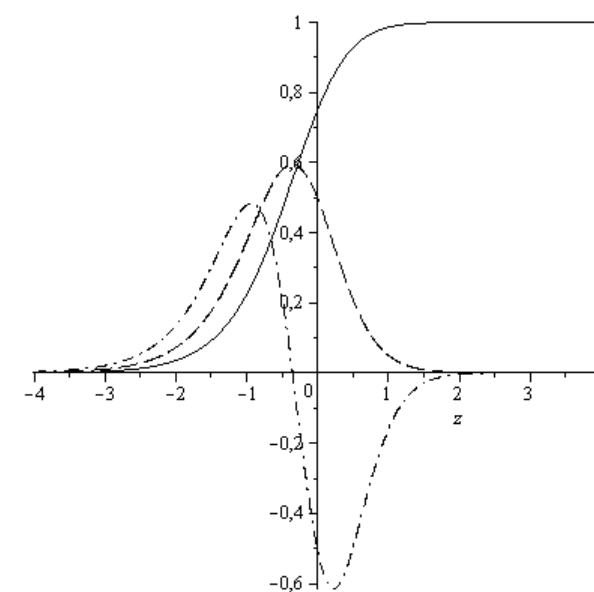


Рис. 3. Зависимости (сплошная), (пунктир), (штрихпунктир).